

ORIGINAL ARTICLE

Effects of Shark Cartilage Oral Treatment on T Regulatory Cells Frequency and Activity in Patients with Gastric Cancer

Razieh Zarei¹,
Mohammad Zoheyr Hasan Sarraf²,
Abolghasem Ajami³,
Daryoush Moslemi⁴,
Amrollah Mostafazadeh⁴

¹ PhD Student in Immunology, Tarbiat Modares University, Tehran, Iran

² Tarbiat Modares University, Tehran, Iran

³ Department of Immunology, Molecular and Cell Biology Research Center, Faculty of Medicine, Mazandaran University of Medical Sciences, Sari, Iran

⁴ Molecular and Cell Biology Research Center, Faculty of Medicine, Babol University of Medical Sciences, Babol, Iran

(Received October 29, 2013 ; Accepted March 13, 2013)

Abstract

Background and purpose: Gastric cancer is the third most common cancer in Iran and the second leading cause cancer-related death worldwide. Shark cartilage prevents angiogenesis in vivo and in vitro, however, its role on angiogenesis or anti-tumor responses in human is not clear yet. We studied the effects of oral treatment of shark cartilage on peripheral Treg frequency and TGF- β as suppressor activity and Treg cells inducer associated with TH1/TH2 cytokines pattern in patients with gastric cancer.

Materials and methods: This study included 23 patients suffering from intestinal gastric cancer who were assigned into intervention ($n=14$) and control group ($n=9$). A month after conventional treatment the patients in intervention group were given three tablets (150mg) of shark cartilage daily for 20 days. Then flow cytometry was employed to determine whether the peripheral blood mononuclear cells such as CD4 $^{+}$ CD25 $^{+}$ Foxp3 $^{\text{high}}$ T regulatory cells in patients with gastric cancer were changed correspondingly.

Results: The results demonstrated that γ -IFN increased and IL-4 decreased in the intervention group. But, no changes were seen in Treg cells frequency and amounts of TGF- β . The evaluations for control group showed no significant difference.

Conclusion: shark cartilage amplified anti-tumor responses in patients with gastric cancer by increase in γ -IFN (TH1 immunity) and decrease in IL-4 (TH2 immunity).

Keywords: Shark cartilage, Treg cell, TGF- β , γ -IFN, IL-4 and gastric cancer

J Mazand Univ Med Sci 2013; 23(99): 35-44 (Persian).

تأثیر مصرف خوراکی غضروف کوسه ماهی بر تعداد و فعالیت سلول های تنظیم کننده T در بیماران مبتلا به سرطان معده

رافیعه زارعی^۱

محمد زهیر حسن صراف^۲

ابوالقاسم عجمی^۳

داریوش مسلمی^۴

امرالله مصطفی زاده^۴

چکیده

سابقه و هدف: سرطان معده سومین سرطان شایع در ایران و چهارمین سرطان شایع و دومین سرطان کشنده در سراسر جهان است. غضروف کوسه ماهی، پروتئینی دارد که آنثیوژن (رگ ک زایی) را در شرایط آزمایشگاهی و مدل های حیوانی متوقف می سازد. اما نقش آن در مهار آنثیوژن را یا پاسخ های ایمنی ضد توموری انسان معلوم نشده است. هدف از این مطالعه تأثیر خوراکی این دارو بر روی تعداد سلول های Treg گردش خون محیطی همراه با پاسخ سایتو کاینی β TGF- β معرف فعالیت مهاری لنفوسيت های T مهار کننده و همراه با آن تغییر در توازن بین الگوی سایتو کاینی سلول های TH1 و TH2 در بیماران مبتلا به سرطان معده است.

مواد و روش ها: در این مطالعه مورد شاهدی بیست و سه بیمار مبتلا به سرطان معده از نوع Intestinal انتخاب و به دو گروه تحت درمان با غضروف شارک ($n=14$) و گروه کنترل ($n=9$) تقسیم شده اند. حداقل یک ماه پس از اتمام درمان استاندارد، به بیماران گروه درمانی، 60 عدد قرص 150 میلی گرمی غضروف کوسه ماهی روزی سه بار به مدت 20 روز تجویز گردیده و یک هفته پس از مصرف دارو، با جداسازی سلول های تک هسته ای گردش خون بیماران و کشت این سلول ها در مجاورت آنتی زن مخصوص تومور، سلول های تنظیم کننده T (Treg) با فلوسایوتومتری و سایتو کاین های IL-4, IFN- γ , TGF- β به روش الیزا اندازه گیری شدند. جهت تعیین تکثیر لنفوسيت ها در برابر آنتی زن مختص تومور آزمایش MTT به عمل آمد. سپس داده ها توسط آزمون های آماری توصیفی و استنباطی تجزیه و تحلیل شدند.

یافته ها: در گروه تحت درمان با غضروف کوسه ماهی در مقایسه با گروه کنترل بعد درمان میزان IL-4 افزایش و $40/05 < P$ ، اما تعداد سلول های Treg و میزان TGF- β تغییری نیافت. تفاوت معنی داری در اندازه گیری ها در گروه کنترل به دست نیامد ($P > 0/05$).

استنتاج: این دوز مصرفی از غضروف کوسه ماهی در انسان های در انسان های مبتلا به سرطان معده، با کاهش IL-4 (ایمونیتی سلول های TH2) و افزایش تولید γ -IFN (ایمونیتی سلول های TH1) موجب تقویت پاسخ های ایمنی سلولی ضد توموری می شود.

واژه های کلیدی: غضروف کوسه ماهی، سلول های Treg، سایتو کاین های β , IL-4, IFN- γ , سرطان معده

مقدمه

سرطان شایع و دومین سرطان شایع در سراسر جهان است^(۱). سرطان معده را همچنین به دو گروه روده ای وزارت بهداشت و درمان ایران- (۱۳۹۱) و چهارمین

E-mail: a.ajami@mazums.ac.ir

مؤلف مسئول: ابوالقاسم عجمی- ساری: دانشگاه علوم پزشکی مازندران، مرکز بیولوژی سلولی و ملکولی، دانشکده پزشکی

۱. دانشجوی دکتری تخصصی، دانشگاه تربیت مدرس، تهران، ایران

۲. دانشگاه تربیت مدرس، تهران، ایران

۳. دانشیار، گروه ایمنی شناسی، مرکز تحقیقات بیولوژی سلولی و ملکولی، دانشکده پزشکی، دانشگاه علوم پزشکی مازندران، ساری، ایران

۴. مرکز تحقیقات بیولوژی سلولی و ملکولی، دانشکده پزشکی، دانشگاه علوم پزشکی بابل، بابل، ایران

تاریخ دریافت: ۱۳۹۱/۸/۸ تاریخ ارجاع چهت اصلاحات: ۱۳۹۱/۱۰/۵ تاریخ تصویب: ۱۳۹۱/۱۲/۲۴

لنفوسيت‌ها در بافت می‌شود، دارند. اين مارکر در لانه گزیني و استقرار Treg در بافت ملتهب دخالت دارد(۱۴) از اين رو به عنوان مارکر زيرگروهی از Treg در پوست نيز مطرح می‌باشد(۱۵). اگرچه، CD73 و CD39 اكتونوکلئوتيد از غشائي که را به ادنوزين تبديل می‌کند، به عنوان مارکرهاي برای تشخيص دقیق تر مطرح شده است(۱۶). در حال حاضر، سلول‌های Treg با پنج مکانيزم پاسخ‌های ايمني را تنظيم و در هموستاز ايمني دخالت می‌کنند:

۱- اختلال متابوليکی، در اين مسیر سلول‌های Treg به وسیله اكتونوکلئوتيداز غشائي خود ملکول‌های ATP خارج سلولی که از سلول‌های تخريب شده در محل التهاب آزاد می‌شوند را به آدنوزين تبديل می‌کند. ATP آزاد شده يك سيگنان خطر است و کيمواترکتانت لنفوسيت‌ها(۱۸)، فعال کننده پاسخ‌های التهابي و القاکننده درد موضعی است(۱۹).

۲- تغيير بلوغ DC، سلول‌های Treg از طريق واکنش CTLA4/CD80CD86 سلول‌های DC را مهار و موجب تولروژنيک شدن DC می‌شود و از اين طريق سلول هدف‌شان را تنظيم می‌کنند(۲۰،۲۱).

۳- سايتوليليز به واسطه گرآنزيم A و B، در انسان سلول‌های Treg با ترشح گرآنزيم A و در موش با توليد گرآنزيم B موجب مرگ سلول هدف به روش وابسته به پرفورين می‌شود(۲۲).

۴- توليد سايتوکاين‌های مهاری نظير IL-10، TGF- β و IL-35(۴).

۵- موجب تنظيم تولرانس محيطی در برابر آنتيژن‌های خودی می‌شوند.

سلول‌های Treg علاوه بر واکنش سلول‌های CTLA4/CD80CD86 از طريق LAG-3 خود با ملکول MHC-II واکنش داده و از فعاليت DC جلوگيري می‌کند.

سلول‌های APC حرفه‌ای نظير DC، MQ و B cells

(Intestinal-type) و منتشره (Diffuse-type) می‌کنند(۲). تومورهای نوع روده‌ای در ناحیه کارپوس (Corpus) معده به وجود می‌آید که به گاستریت آتروفیک و متاپلازی روده‌ای تغیير یافته‌اند. در حالی که در تومورهای منتشره، گاستریت در تمام معده وجود دارد بدون آن که دچار آتروفی شده باشد(۳). تومورهای نوع روده‌ای غالباً در نواحی جغرافیائی خاصی دیده می‌شوند و از شیوع بالایی برخوردارند، در حالی که نوع منتشره به يك شکل در سراسر جهان دیده می‌شوند(۴). بالغ بر ۵۰ درصد افراد در سراسر جهان آلوده به H.pylori هستند. اما، ۱۰-۱۵ درصد افراد آلوده زخم معده می‌گيرند، ۱-۳ درصد اين افراد بعداً مبتلا به سرطان معده می‌شوند(۵).

پاسخ‌های ايمني در سرطان معده شامل ايمني ذاتي و اكتناسياي است. پاسخ ايمني حاوي فعاليت سلول‌های T، B، دندريتيك سل، ماکروفاز و نوتروفيل هاست. سلول‌های Treg در چندين بدخيimi از جمله در سرطان معده افزایش می‌يابد(۶) سلول‌های Treg احتمالاً در تيموس توليد و عملکرد آن‌ها مهار پاسخ‌های ايمني در اندام‌های محيطی است، سلول‌های Treg در تيظيم پاسخ ايمني، حفظ تولرانس و هموستاز ايمني دخالت دارد(۷)، اتوايمونيتی و بقاء سرطان را کنترل می‌کند(۸)، پس نقش مهمی در اتوايمونيتی، آлерژي، عفونت و القا تولرانس در برابر پيوند را بازي می‌کنند. سلول‌های CD4+CD25+، CD4+CD25+Treg در تيظيم گرداش خون محيطی ۵-۱۰ درصد سلول‌های CD4+T را تشکيل می‌دهند(۱۰،۹).

بيش تر سلول‌های Treg فنوطيپ CD4+CD25+ دارند. اين سلول‌ها ۲-۳ درصد سلول‌های CD4+T را می‌سازنند(۱۱). اگرچه، بيش تر سلول‌های Treg، CD25-Treg نيز CD4+CD25+ هستند، اما سلول‌های CD4+CD25+ وجود دارد(۱۲،۱۳). سلول‌های CD4+CD25+Treg عمدتاً پروتئيني سيتوپلاسمی به نام Foxp3 را دارند. علاوه بر اين، CD103 یا ايتگرین 7 α E β 7 که به E-کادهرين سلول‌های اپيتيلیال متصل و موجب ابقا

ماهی برروی پاسخ‌های اینمنی افراد تومورال در مطالعاتی که معتقد به اثربخشی این دارو دارند ما را برآن داشته تا اثر این دارو بر روی تعداد سلول‌های Treg گردش خون محیطی همراه با پاسخ سایتوکاینی TGF- β معرف فعالیت مهاری لنفوسيت‌های T مهار کننده و همراه با آن تغییر در توازن بین الگوی سایتوکاینی سلول‌های TH1 و TH2 یعنی اندازه گیری غلظت سایتوکاین سرمی IFN- γ معرف فعالیت سلول‌های TH1 و IL-4 معرف فعالیت سلول‌های TH2 در بیماران مبتلا به سرطان معده را مورد بررسی قرار دهیم.

مواد و روش‌ها

در این مطالعه مورد- شاهدی بیست سه بیمار(عزن و ۱۷ مرد) مبتلا به سرطان معده تمام‌اً از نوع روده ای به طور تصادفی از یک جمعیت ایرانی در شمال ایران انتخاب شدند. میانگین سنی این بیماران ۵۱ سال بوده است. بیمارانی که حداقل یک ماه از شیمی درمانی و یا ۷ روز از رادیوتراپی آن‌ها گذشته باشد و نیازی به داروی استروئیدی هم نداشته و به علاوه متاستاز مغزی، آلدگی با HIV، بارداری، بیماری قلبی و عروقی، فشار خون بالا در طی یک سال، سابقه سکته قلبی، زخم‌های بهبود نیافته، نداشته و از وضعیت عمومی پایداری برخوردار بودند، انتخاب گردیدند. همچنین چنان‌چه بیمارانی که با مصرف دارو دچار حمله بیماری نظری: عدم تحمل دارو، آلرژی و حتی انصراف بیمار از ادامه درمان می‌شدند از مطالعه خارج می‌گردیدند. خوشبختانه، مشکلات فوق در طی مطالعه روی نداده است. تنها مشکل این بیماران کم خونی به دلیل گاستر کتونی بوده است. بیماران مبتلا به سرطان معده از میان مراجعان به مرکز شیمی درمانی شهید رجایی بابلسر انتخاب شدند این بیماران از مبتلایان به Stage1-3 تومور بدخیم، بعد تشخیص با نمونه‌برداری و اولین جراحی، و البته با رضایت و اطلاع کامل خود بیماران به مشارکت در درمان و مطابق مصوبه کمیته اخلاق پژوهشی دانشگاه

کیمواترکانت‌هایی نظری CCL4 را تولید می‌کنند که موجب جذب این سلول‌ها به بافت می‌شود(۲۳). Treg با فعال کردن پروتئین پروآپوپتیک Bim، کاسپازها را فعال و موجب آپوپتر سایر سلول‌ها از جمله سلول‌های T می‌شوند(۲۴). در گاستریک کانسر، تعداد سلول‌های Treg افزایش می‌باید.

برخی مطالعات آزمایشگاهی و حیوانی نشان دادند که غضروف رشد عروق خونی را کاهش می‌دهد ولی در انسان هنوز به اثبات نرسیده است. مطالعات کمی بر روی فواید ضد سرطانی غضروف کوسه ماهی منتشر شده است. عقیده براین است که غضروف کوسه ماهی و یا سایر حیوانات نظری گاو و گوسفند و مرغ رشد سرطان را کند و یا متوقف می‌کند. غضروف کوسه ماهی، پروتئینی دارد که آنزیوژن (رگ‌زایی) را متوقف می‌سازد. تومورها به شبکه از عروق خونی برای بقاء و رشد نیازمندند، بنابراین با متوقف کردن خون رسانی به آن، تومور از بین می‌رود(۲۵). اگرچه، گزارشاتی در باره خاصیت ضدتوموری غضروف کوسه ماهی ارائه شده اما داده‌های فعلی فقط بر روی اثر غضروف کوسه ماهی بر روی کند یا متوقف کردن آنزیوژن در مدل‌های حیوانی و محیط کشت(۲۶) و یا تولید سایتوکاین‌هایی نظری IFN- γ و TNF- α در محیط کشت لکوسیت‌های انسانی دلالت دارد(۲۷).

حتی در مطالعات محدود انجام شده، سایر اثرات غضروف کوسه ماهی (به غیر از ضد رگ‌زایی) که می‌تواند از پیشرفت تومور جلوگیری کند و یا ریسک متاستاز را کاهش دهد، نشان نمی‌دهد(۲۷) به علاوه، مطالعاتی هم اثر ضد سرطانی غضروف کوسه ماهی به ویژه در سرطان ریه انسان را رد می‌کند و آن را به عنوان داروی جایگزین در درمان سرطان مؤثر نمی‌دانند(۲۸). ضمن آن که تعقیب مسیرهای سلولی و ملکولی اینمنی تحت درمان با غضروف کوسه ماهی به ویژه در بدن انسان صورت نگرفته است. از این رو با توجه به تناقض در اثرات ضد سرطانی غضروف کوسه ماهی و همچنین نقش کم شناخته شده غضروف کوسه

یک از چاهک‌ها افزوده و بعد از تکان دادن میکروپلیت بر روی شیکر (shaker) جذب نوری محلول را در ۵۹۰ نانومتر و فیلتر رفانس ۶۲۰ نانومتر اندازه‌گیری کردیم. در تمام نمونه‌ها آنتی‌ژن مختص تومور قادر به تکثیر سلول‌های T بوده‌اند. برای اندازه‌گیری سایتوکاین‌ها سلول‌های تک هسته ابی خون محیطی (حاوی $10^5 \times 2$) سلول‌های هر یک از بیماران را در چاهک‌های پلیت ۲۴ تایی ریخته و با محلول ۱۶۴۰ RPMI حجم آن را به یک میلی‌لیتر رسانده و سپس پنج میکروپلیت آنتی‌ژن مختص تومور به هر یک از چاهک‌ها افزوده شد. زمان کشت مطلوب برای IL-4 و IL-۷ ۷۲ ساعت و برای TGF-β، TGF-γ ۹۶ ساعت بوده است. سپس با سانتریفیوژ، مایه رویی را جدا و به روش الیزا در طول موج ۴۵۰ نانومتر اندازه‌گیری شدند. برای اندازه‌گیری کمی سلول‌های Treg از کیت فلوسایتمتری (eBioscience, UK) استفاده شده است. دویست میکروپلیت از سوسپانسیون تک هسته‌ای گرددش خون را با ۱۶۴۰ RPMI به حجم یک میلی‌لیتر رسانده و در یکی از چاهک‌های پلیت ۲۴ تایی همراه با پنج میکروگرم/میلی‌لیتر آنتی‌ژن مختص تومور در انکوپاتور ۳۷ درجه سانتی‌گراد و در مجاورت دی‌اکسید کربن با غلاظت ۵ درصد برای ۲۴ ساعت کشت داده دادیم. بعد از رنگ آمیزی مارکرهای غشایی لنفوسيت‌ها (CD4, CD25) سلول‌های را با Fixation buffer /permeabilization buffer پرتوکل کارخانه سازنده ثابت و نفوذپذیر شدند. سپس قبل از آنالیز سلول‌ها با آنتی‌بادی کونژگه فلوروسانس به مدت ۳۰ دقیقه در دمای اتاق رنگ آمیزی شدند. در تمام نمونه‌های رنگ شده، سلول‌های مرده خارج از گیت قرار داشتند و لنفوسيت‌های زنده گیت زده و تا ۱۰۰۰ سلول شمارش شدند. همه داده‌ها در BD FACScalibur, USA جمع‌آوری شده و با استفاده

تربیت مدرس به شماره ۵۷۳۲۷ و به تاریخ ۹۰/۷/۱۰ انتخاب گردیده و بر اساس مطالعه موردی- شاهدی، به ۲ گروه تقسیم شدند:

- گروه اول (n=۱۴) فقط ۶۰ عدد کپسول ۱۵۰ mg غضروف کوسه ماهی را (سه بار در روز به مدت ۲۰ روز) دریافت کردند.
- گروه دوم (n=۹) هیچ دارویی دریافت نکردند و به عنوان گروه شاهد انتخاب گردیدند.

در این مطالعه، سلول‌های Treg گرددش خون محیطی با فلوسایتمتری و سایتوکاین‌های: TGF-β, IL-4, IFN-γ اندازه‌گیری شدند. با ده سی سی خون‌گیری از ورید قدامی آرنج بیماران قبل و بعد درمان و پس از جداسازی سلول‌های تک هسته‌ای گرددش خون بیماران با استفاده از فایکول و تعیین زنده بودن آن‌ها با استفاده از تریپان بلو و شمارش آن‌ها بر روی لام‌ئوبار، در پلیت‌های ۲۴ چاهکی در مجاورت آنتی‌ژن مختص تومور (CEA-MIF(ANASPEC, UK) کشت داده شده‌اند. جهت تعیین تکثیر لنفوسيت‌ها در مجاورت آنتی‌ژن، آزمایش MTT به عمل آمد.

MTT زرد در میتوکندری سلول‌های زنده احیاء می‌شود و به فرمازان (Formazan) بنفس رنگ تبدیل می‌شود. ضد میکروپلیت از سوسپانسیون سلول‌های تک هسته‌ای گرددش خون هر بیمار به یکی از چاهک‌ها و برای رسم منحنی استاندارد به ترتیب ۴ غلاظت متفاوت ۱۰۰، ۱۰، ۲۰، ۵۰ میکروپلیت از سرم یکی از بیماران به چاهک‌های میکروپلیت الیزا اضافه کرده و چون لنفوسيت‌های T سلول‌های شناور هستند همان روز پنج میکروپلیت آنتی‌ژن به چاهک‌ها افزوده و ۲۴ ساعت بعد با افزودن بیست میکروپلیت محلول MTT (5mg/ml) و قراردادن میکروپلیت در دمای ۳۷ درجه سانتی‌گراد و در مجاورت دی‌اکسید کربن با غلاظت ۵ درصد به مدت حداقل ۴ ساعت، صدو پنجاه میکروپلیتردی متیل سولفاکساید (DMSO) به عنوان حلal MTT را به هر

(تصویر شماره ۱)، میزان β -TGF خون محیطی (به طور میانگین از 235 pg/ml قبل درمان به 299 pg/ml بعد درمان)، IL-4 (به طور میانگین از 119 pg/ml قبل درمان به 92 pg/ml بعد درمان) کاهش ولی میزان γ -IFN خون محیطی (به طور میانگین از 107 pg/ml به 141 pg/ml بعد درمان) افزایش یافت (تصویر شماره ۳). این تغییرات داخل گروه با توجه به $p < 0.05$ معنی دار بوده است. در گروه کنترل هیچ تغییر معنی داری ایجاد نشد (تصاویر شماره ۲ و ۴).

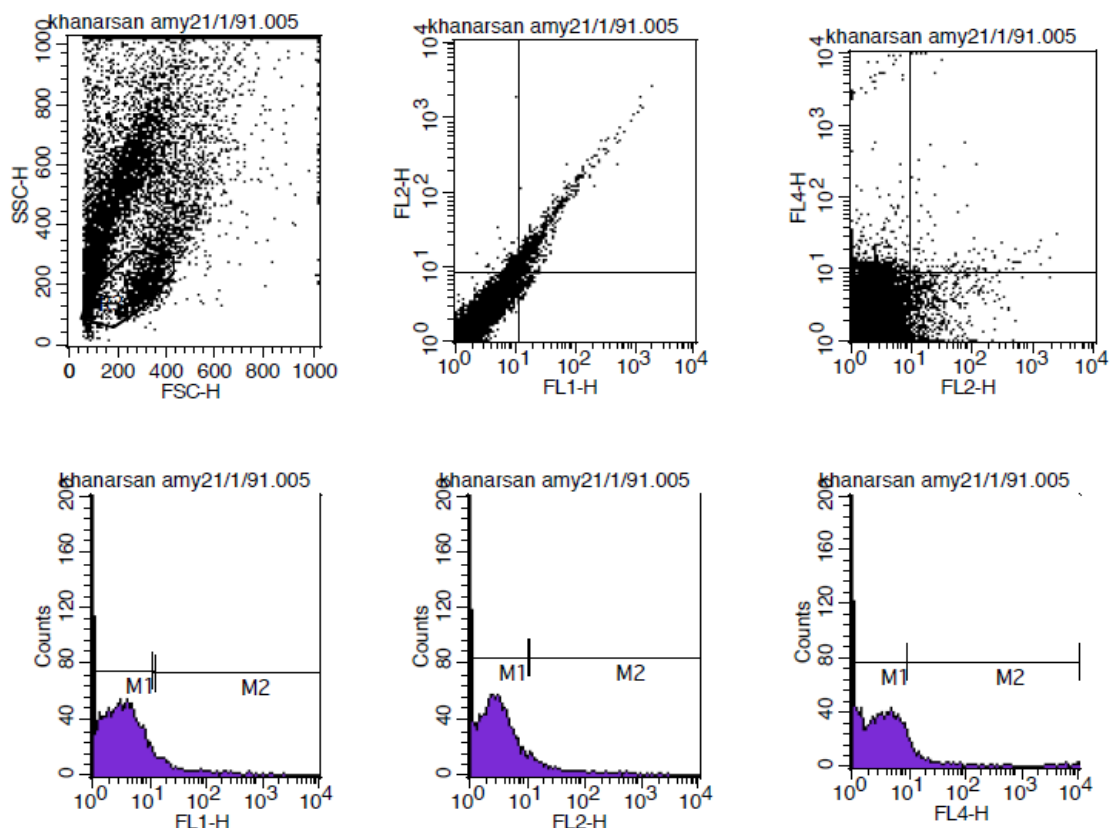
اما در مقایسه بین گروهی براساس آزمون های T و IL-4 معلوم شد فقط افزایش γ -IFN و کاهش TGF- β معنی دار و تحت تأثیر دوز داروی مصرف شده، روی داده است. کاهش سلول های Treg و Foxp3 در گروه درمانی روی داده اما به نظر نمی رسد تحت تأثیر غضروف کوسه ماهی بوده باشد.

از نرم افزار Cell Quest program آنالیز شدند.

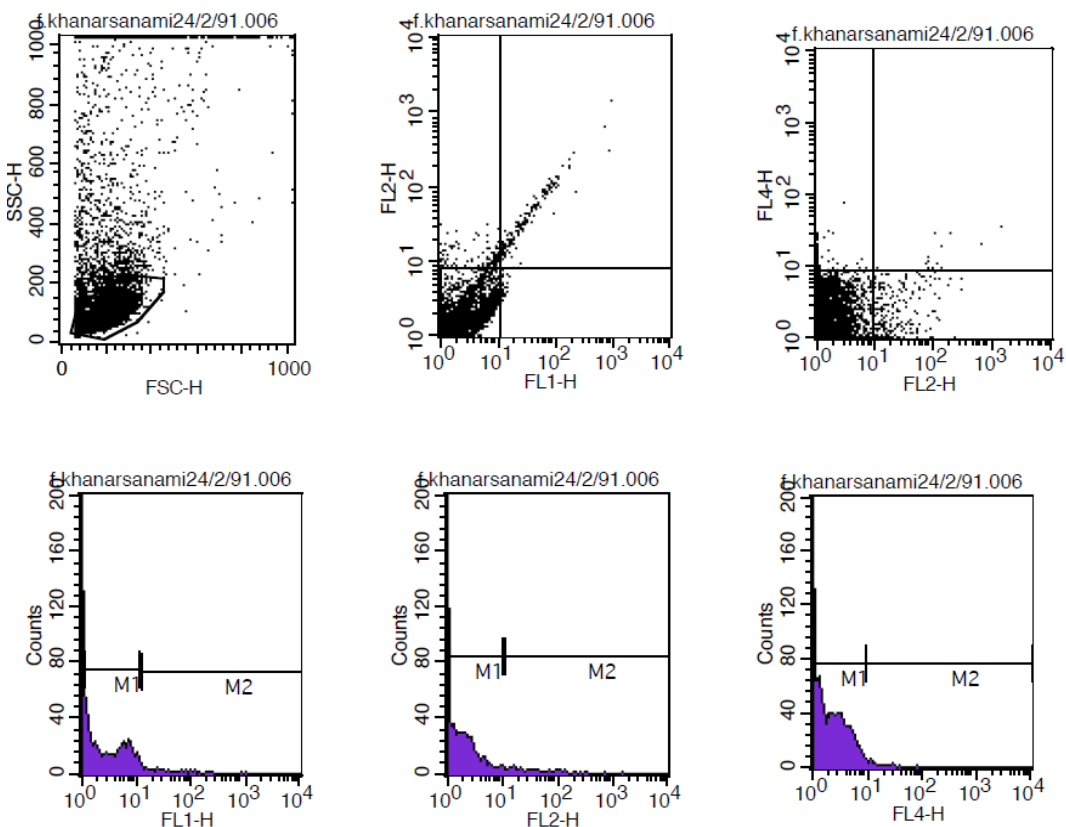
یافته ها

با استفاده از فلوسایتومتری میزان سلول های Treg بیماران درمان شده با غضروف کوسه ماهی به طرز معنی داری کاهش یافته است. این کاهش در دات پلات و هیستوگرام زیر نشان داده شده است.

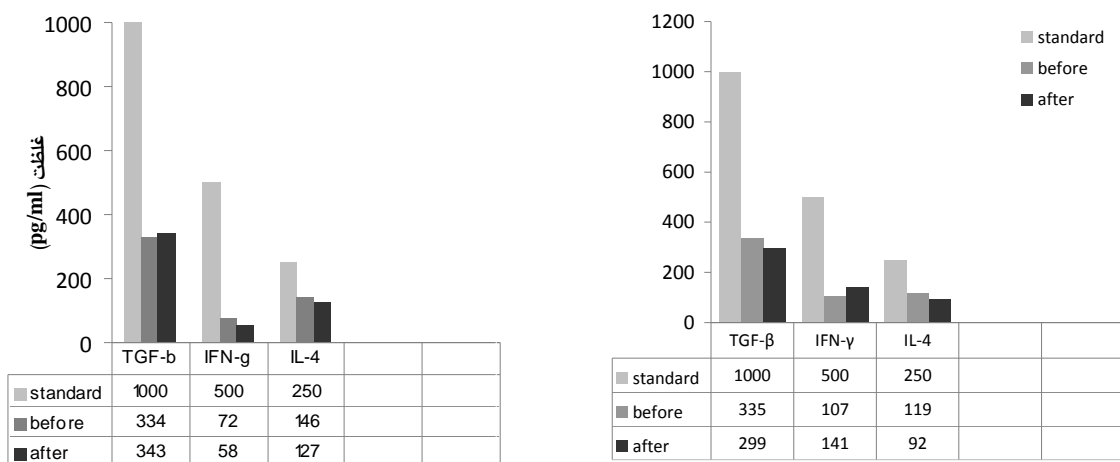
با استفاده از آزمون t وابسته میانگین، پراکندگی و معنی داری با ضریب اطمینان ۹۵ درصد ($p < 0.05$) تغییرات داخل گروهی و با آزمون t (فرض عدم برابری واریانس) و آزمون t (فرض عدم برابری واریانس) گروه درمانی با گروه کنترل مقایسه بین گروهی انجام و ملاحظه شد که در گروه درمانی بعد از مصرف دارو تعداد سلول های Treg (به طور میانگین از $1/339$ قبل درمان به $0/812$ بعد درمان)



تصویر شماره ۱: نمودار دات پلات و هیستوگرام بیماران قبل از درمان با غضروف کوسه ماهی



تصویر شماره ۲: نمودار دات پلات و هیستو گرام بیماران بعد درمان با غضروف کوسه ماهی



تصویر شماره ۴: نمودار تغییرات سایتوکاینی به فاصله یک ماه در گروه کنترل

تصویر شماره ۳: نمودار تغییرات سایتوکاینی قبل و بعد درمان در بیماران درمان شده با غضروف کوسه ماهی

بحث

مدل‌های حیوانی مطرح شده است. در حالات فوق نشان داده شده که، غضروف کوسه ماهی با کاهش آنتی‌یوزنر

مطالعات و گزارشاتی مبنی بر اثر ضد سرطانی غضروف کوسه ماهی در شرایط آزمایشگاهی و

TGF- β /Treg بالانس اینمی Th1/Th2 به نفع الگوی سایتوکاینی (IFN- γ) و کاهش الگوی سایتوکاینی Th1 تغییر یابد. همان‌طور که در مقدمه گفته شد TGF- β سلول‌های Treg با تولید سایتوکاین مهاری TGF- β پاسخ‌های اینمی ضد‌توموری سلول‌های Th1 را کاسته و موجب رشد و متاستاز تومور می‌شود. به علاوه تقویت اینمی Th2 که به واسطه اثر مهاری سلول‌های Treg نیز روی می‌دهد موجب کاهش فعالیت ضد‌توموری سلول‌های Th1 شده و به رشد تومور کمک می‌کند (۵-۲۴). با توجه به نتایج به دست آمده، غضروف کوسه ماهی با کاهش سلول‌های CD4 $^{+}$ CD25 $^{+}$ Foxp3 $^{\text{hi}}$ Treg در گروه درمانی همراه بوده است. همان‌طور که در مقدمه گفته شده، یکی از مکانیسم‌های عملکردی سلول‌های Treg، تولید سایتوکاین‌های مهاری نظری IL-10 و IL-35 است. بنابراین با کاهش سلول‌های Treg انتظار می‌رفت TGF- β مهم‌ترین سایتوکاین ترشحی این زیر‌گروه از لنفوسيت‌های T نیز کاهش یابد. کاهش محور Treg-TGF β ، علامت مناسبی برای حذف اثر مهار پاسخ‌های اینمی سلولی و در نتیجه تقویت پاسخ‌های اینمی ضد‌تومور است. از این‌رو ما الگوی سایتوکاینی TH1 (IFN- γ) و TH2 (IL-4) را اندازه گرفیم و مشاهده شد که با کاهش TGF- β ، میزان IFN- γ افزایش یافته است. منبع اصلی IFN- γ سلول‌های TH1 و همچنین سلول‌های NK هستند. ۵۰-۶۰ درصد سلول‌های تک هسته‌ای گرددش خون را سلول‌های TH و کمتر از ۱۰ درصد آن را سلول‌های NK تشکیل می‌دهند. بنابراین، کاهش TGF- β را می‌توان یکی از عوامل افزایش IFN- γ یا الگوی سایتوکاینی TH1 تحت تأثیر غضروف کوسه ماهی مطرح نمود. افزایش این سایتوکاین می‌تواند معرف فعالیت ضد‌توموری سلول‌های ترشح کننده آن در بیماران مبتلا به سرطان معده باشد.

سلول‌های T ترشح کننده TGF- β در بعضی موارد IL-10 و IL-4 را نیز تولید می‌کنند، که هر دو همانند

از رشد تومور جلوگیری می‌کند. آنتی‌یوزن فرآیند پیچیده و چند مرحله شامل ناپایداری عروق از قبل تشکیل شده، تکثیر سلول‌های اندوتیال، مهاجرت این سلول‌ها و تشکیل عروق خونی جدید است. آنتی‌یوزن نقش مهمی در رشد، تهاجم و متاستاز تومورهای جامد دارد. رشد و متاستاز تومور هر دو به آنتی‌یوزن بافت توموری بستگی دارد (۲۹-۳۳). رشد تومور با بلوكه کردن مسیر VEGF-2 به گیرنده‌اش، فاکتورهای نسخه برداری سیتوپلاسمی ERK1/2. سرین-تره اونین کیناز AKT فسفریله می‌گردد. این پروتئین‌های به هسته سلول مهاجرت و به پرومоторهای CXCR4 و HIF1 α سلول توموری متصل می‌شوند (۳۵-۳۶).

HIF1 α زیر واحدی از فاکتور نسخه برداری است که نه تنها پاسخ‌های اینمی اکتسابی ضد‌هیپوکسی (hypoxia) بلکه عملکرد سلولی تحت نورماکسی (normaxia) VEGF را تنظیم می‌کند. HIF1 α با تجمع موجب بقا سلول و تمایز عروقی می‌شود (۳۶). تاکنون در انسان، مهار و یا کند شدن آنتی‌یوزن در بافت‌های توموری به وسیله غضروف کوسه ماهی گزارش نشده است، اما در شرایط آزمایشگاهی دیده شده که با کشت و تحريك غیراختصاصی سلول‌های تک هسته‌ای گرددش خون افراد سالم که غضروف کوسه ماهی مصرف کرده اند، میزان TNF- α ، IL-8 و IL-6 به سرعت تولید و بسیار بیشتر از مقدار طبیعی و بر عکس IL-4 تولید نشده و حتی پس از ۹۶ ساعت هم بسیار کمتر از مقدار طبیعی گرددش خون بوده است (۲۷). اگرچه گزارشاتی مبنی بر عدم تأثیر غضروف کوسه ماهی در ممانعت از رشد تومور در افراد مبتلا به سرطان ریه (۲۸) نیز وجود دارد.

پاسخ‌های اینمی ضد‌توموری حول چندین محور بررسی می‌شوند که مسیرهای TGF- β /Foxp3 Treg و ایمونیتی Th1/Th2 از جمله آن‌هاست. در پاسخ‌های ضد‌توموری انتظار می‌رود با کاهش مسیر

در خاتمه لازم است، با بررسی بیشتر اثرات غضروف کوسه ماهی بر روی سایر ابعاد اینمنی اکتسابی در افراد تومرا مدارک بیشتری برای اثبات خاصیت ضد توموری این ماده ارائه شود. ضمن آن که اثر این ماده بر روی آنتیبیوتیک، رشد و بقا، تهاجم و متاستاز تومور در افراد انسانی هنوز مورد مطالعه قرار نگرفته است.

سپاسگزاری

نویسنده‌گان مقاله از زحمات بی‌دریغ و رهنمودهای استادی و همکارانی که در انجام این طرح ما را یاری نمودند تشکر و قدردانی می‌نمایند.

TGF- β خاصیت مهار اینمنی سلولی را دارند و از تولید IFN- γ و تمایز سلول‌های T به سلول‌های TH1 جلوگیری کرده، ولی تمایز و پاسخ‌های TH2 را تقویت می‌کنند. بنابراین انتظار می‌رفت با کاهش سلول‌های Treg، تولید سایتوکاین‌های IL-4 و IL-13 نیز کاهش یابد. این اثر به خوبی در داخل گروه مشاهده گردید. بنابراین، پیشنهاد می‌شود، غضروف کوسه ماهی در انسان‌های مبتلا به سرطان معده، همراه با کاهش سلول‌های مهاری Treg و سایتوکاین TGF- β موجب کاهش میزان IL-4 و افزایش تولید IFN- γ شده و زمینه تقویت پاسخ‌های اینمنی سلولی ضد توموری را فراهم می‌سازد.

References

1. Sakaguchi S, Sakaguchi N, Asano M, Itoh M, Toda M. Immunologic self-tolerance maintained by activated T cells expressing IL-2 receptor alpha-chains (CD25) breakdown of a single mechanism of self-tolerance causes various autoimmune diseases. *J Immunol* 1995; 155(3): 1151-1164.
2. Pandolfi F, Cianci R, Pagliari D, Landolfi R, Cammarota G. Cellular mediator of inflammation: Tregs and Th17Cells in gastrointestinal diseases. *Mediators Inflamm.* 2009; Article ID: 132028.
3. Malek TR, Bayer AL. Tolerance, not immunity, crucially depends on IL-2. *Nat Rev Immunol* 2004; 4(9): 665-674.
4. Borish L, Rosenwasser L. TH1/TH2 lymphocytes: doubt some more. *J Allergy Clin Immunol* 1997; 99(2): 161–164.
5. Wang J, Huizinga TW, Toes RE. De novo generation and enhanced suppression of human CD4+CD25+regulatory T cells by retinoic acid. *J Immunol* 2009; 183(6): 4119-4126.
6. Mizukami Y, Kono K, Kawaguchi Y, Akaike H, Kamimura K, Sugai H, et al. Localisation pattern of FoxP3+regulatory T cells is associated with clinical behaviour in gastric cancer. *Br J Cancer* 2008; 98(1): 148–153.
7. Sakaguchi S, Powrie F. Emerging challenges in regulatory T cell function and biology. *Science* 2007; 317(5838): 627-629.
8. Sakaguchi S. Regulatory T cells in the past and for the future. *Eur J Immunol* 2008; 38(4): 901-937.
9. Jonuleit H, Schmitt E, Stassen M, Tuettenberg A, Knop J, Enk AH. Identification and functional characterization of human CD4+ CD25+T cells with regulatory properties Isolated from peripheral blood. *J Exp Med* 2001; 193(11): 1285-1294.
10. Stephens LA, Mottet C, Mason D, Powrie F. Human CD4+CD25+ thymocytes and peripheral T cells have immune suppressive activity in vitro. *Eur J Immunol* 2001; 31(4): 1247-1254.
11. Baecher-Allan C, Brown JA, Freeman GJ, Hafler DA. CD4+CD25+ regulatory cells in human peripheral blood. *J Immunol* 2001; 167(3): 1245-1253.
12. Xu Q, Lee J, Jankowska-Gan E, Schultz J,



- Roenneburg DA, Haynes LD, Kusaka S, et al. HumanCD4+CD25low adaptive T regulatory cells suppress delayed-type hypersensitivity during transplant tolerance. *J Immunol* 2007; 178(6): 3983-3995.
13. Suffia I, Reckling SK, Salay G, Belkaid Y. A role for CD103 in the retention of CD4+CD25+ Treg and control of Leishmania major infection. *J Immunology* 2005; 174(9): 5444-5455.
14. Lehmann J, Huehn J, de la Rosa M, Maszynas F, Kretschmer U, Krenn V, et al. Expression of the integrin $\alpha E\beta 7$ identifies unique subsets of CD25+ as well as CD25-regulatory T cells. *PNAS* 2002; 99(20): 13031-13036.
15. Borsellino G, Kleinewietfeld M, Di Mitri D, Sternjak A, Giometto R, Hopner S, et al. Expression of ectonucleotidase CD39 by FoxP3+Treg cells: hydrolysis of extracellular ATP and immune suppression. *Blood* 2007; 110(4): 1225-1232.
16. Deaglio S, Dwyer KM, Gao W, Friedman D, Usheva A, Erat A, et al. Adenosine generation catalyzed by CD39 and CD73 expressed on regulatory T cells mediates immune suppression. *J Exp MED* 2007; 204(6): 1257-1265.
17. Wing K, Onishi Y, Prieto-Martin P, Yamaguchi T, Miyara M, Fehervari Z, et al. CTLA-4 controls over FoxP3+ regulatory T cell function. *Science* 2008; 322(5899): 271-275.
18. Bours MJ, Swennen EL, Di Virgilio F, Cronstein BN, Dagnelie PC. Adenosine 5'-triphosphate and adenosine as endogenous signaling molecules in immunity and inflammation. *Pharmacol Ther* 2006; 112(2): 358-404.
19. Horwitz DA, Zheng SG, Gray JD. Natural and TGF- β -induced FoxP3+CD4+CD25+ regulatory T cells are not mirror images of each other. *Trends Immunol* 2008; 29(9): 429-435.
20. Shimizu J, Yamazaki S, Takahashi T, Ishida Y, Sakaguchi S. Stimulation of CD25+CD4+ regulatory T cells through GITR breaks immunological self-tolerance. *Nat Immunol* 2002; 3(2): 135-142.
21. Cao X, Cai SF, Fehniger TA, Song J, Collins LI, Piwnica-Worms DR, et al. Granzyme B and perforin are important for regulatory T cell-mediated suppression of tumor clearance. *Immunity* 2007; 27(4): 635-646.
22. Bystry RS, Aluvihare V, Welch KA, Kallikourdis M, Betz AG. B cells and professional APCs recruit regulatory T cells via CCL4. *Nat Immunol* 2001; 2(12): 1126-1132.
23. Pandiyan P, Zheng L, Ishihara S, Reed J, Lenardo MJ. CD4+CD25+FoxP3+ regulatory T cells induce cytokine deprivation-mediated apoptosis of effector CD4+ T cells. *Nat Immunol* 2007; 8(12): 1353-1362.
24. Food and Drug Administration. Company ordered to halt sales of unapproved drugs, reimburse buyers. *FDA Consumer Magazine*, September-October 2004. Accessed at: www.fda.gov/fdac/departs/2004/504_upd.html#sales. Accessed June 11, 2008.
25. Sagar SM, Yance D, Wong RK. Natural health products that inhibit angiogenesis: a potential source for investigational new agents to treat cancer-part 1. *Curr Oncol* 2006; 13(1): 14-26.
26. Merly L, Simjee S, Smith SL. Induction of inflammatory cytokines by-cartilage extracts. *Int Immunopharmacol* 2007; 7(3): 383-391.

27. Charles Lu. Shark cartilage no help for cancer. *J Natl Cancer I* 2010; 26.
28. Zheng LH, Wang YJ, Sheng J, Wang F, Zheng Y, Lin XK, et al. Antitumor peptides from marine organisms. *Mar Drugs* 2011; 9(10): 1840-1859.
29. Folkman J. The role of angiogenesis in tumor growth. *Semin Cancer Biol* 1992; 3(2): 65-71.
30. Folkman J. Angiogenesis in cancer, vascular, rheumatoid and other disease. *Nat Med* 1995; 1(1): 27-31.
31. Bouck N, Stellmach V, Hsu SC. How tumors become angiogenic. *Adv Cancer Res* 1996; 69: 135-174.
32. Folkman, J. Angiogenesis and angiogenesis inhibition: an overview. *EXS* 1997; 79: 1-8.
33. Nakamura S, Chikaraishi Y, Tsuruma K, Shimazawa M, Hara H. Ruboxistaurin, a PKC β inhibitor inhibits retinal neovascularization via suppression of phosphorylation of ERK1/2 and Akt. *Exp Eye Res* 2010; 90(1): 137-145.
34. Ushio-Fukai M. Redox signaling in angiogenesis: Role of NADPH oxidase. *Cardiovasc Res* 2006; 71(2): 226-235.
35. Chiavarina B, Whitaker-Menezes D, Migneco G, Martinez-Outschoorn UE, Pavlides S, Howell A, et al. HIF1-alpha functions as a tumor promoter in cancer associated fibroblasts, and as a tumor suppressor in breast cancer cells: Autophagy drives compartment-specific oncogenesis. *Cell Cycle* 2010; 9(17): 3534-3551.
36. Fukushima K, Murata M, Hachisuga M, Tsukimori K, Seki H, Takeda S. Hypoxia inducible factor 1 alpha regulates matrigel-induced endovascular differentiation under normoxia in a human extravillous trophoblast cell line. *Placenta* 2008; 29(4): 324-331.